



# 极大代数上的随机线性系统与 DEDS 的扰动分析<sup>1)</sup>

涂 奉 生      孙 永 华

(南开大学计算机与系统科学系, 天津 300071)

## 摘 要

本文给出了串行生产线的极大代数上的随机线性状态方程, 证明了扰动分析适用于这类 DEDS 系统, 并给出了其扰动分析的计算方法, 该法是较为简单的。

**关键词:** 离散事件动态系统, 扰动分析, 串行生产线, 极大代数。

## 一、串行生产线的随机状态方程

考虑如图 1 所示的串行生产线。

图中  $J_k, k \in \mathbb{N}, M_i, i \in \mathbb{N}$  分别为工件和机器。设  $p_i(k, \theta_i)$  为  $J_k$  在  $M_i$  上的加工时间, 是带参数  $\theta_i$  的互相独立的随机变量。  $x_i(k)$  为  $J_k$  离开  $M_i$  的时间,  $y(k)$  为  $J_k$  离开生产线的总时间。类似文献 [1] 可得到串行生产线的随机“线性”状态方程

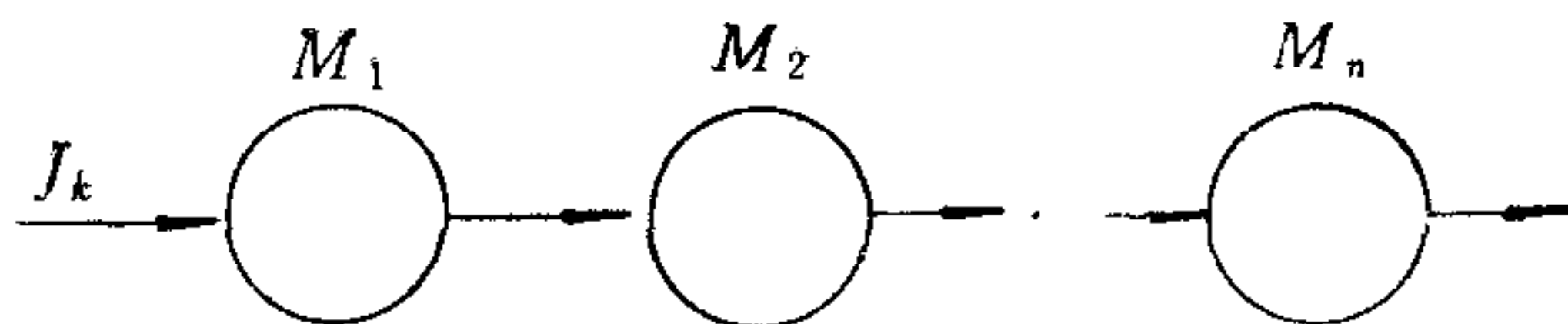


图 1 串行生产线

$$\begin{cases} \mathbf{x}(k+1) = A(k+1) \otimes \mathbf{x}(k), & (1) \\ y(k) = \mathbf{c}^T \otimes \mathbf{x}(k), & (2) \end{cases}$$

$$\mathbf{x}^T(k) = (x_1(k), \dots, x_n(k)), \quad (3)$$

其中

$$A(k) = \begin{pmatrix} p_1(k) & & & \\ p_{12}(k) & p_2(k) & & \epsilon \\ \dots & \dots & & \\ p_{12\dots n}(k) & p_{23\dots n}(k) & \dots & p_n(k) \end{pmatrix}, \quad (4)$$

$$\mathbf{c}^T = (\epsilon, \dots, \epsilon, e), \epsilon = -\infty, e = 0, \quad (5)$$

$$p_{i\dots j}(k) = p_i(k) \otimes p_{i+1}(k) \otimes \dots \otimes p_j(k), \quad 1 \leq i < j \leq n \quad (6)$$

如果  $\mathbf{x}(0) = \mathbf{x}_0$  已知, 由状态方程可得到

$$y(k) = \mathbf{c}^T \otimes A(k) \otimes A(k-1) \otimes \dots \otimes A(1) \otimes \mathbf{x}_0. \quad (7)$$

本文于 1991 年 7 月 22 日收到。

1) “863”计划自动化领域 CIMS 主题项目支持的课题。

对具有有限存储器的生产线可类似文献[2]建立其随机状态方程.

## 二、扰动分析<sup>[3]</sup>原理

如果生产线共加工  $N$  个工件, 则加工每个工件的平均时间  $T$  为

$$T = T(N, \theta) = \frac{1}{N} y(N, \theta), \theta^T = (\theta_1, \dots, \theta_n). \quad (8)$$

假设  $p_i(k, \theta_i)$  为连续型随机变量, 其分布函数为  $F_i(t; k, \theta_i)$ . 则可写为

$$p_i(k, \theta_i) = g_{ik}(r_{ik}, \theta_i), \quad (9)$$

这里  $r_{ik}$  为区间  $[0, 1]$  上的均匀分布的随机变量,

$$g_{ik}(r_{ik}, \theta_i) = F_i^{-1}(r_{ik}; k, \theta_i). \quad (10)$$

假定它们在  $\theta_i$  处的期望和方差都存在, 并且

1)  $\frac{\partial g_{ik}(r_{ik}, \theta_i)}{\partial \theta_i}$  以概率 1 (*w.p.1*) 存在, 即

$$g_{ik}(r_{ik}, \theta_i + \Delta\theta_i) - g_{ik}(r_{ik}, \theta_i) = \frac{\partial g_{ik}(r_{ik}, \theta_i)}{\partial \theta_i} \cdot \Delta\theta_i + O(r_{ik}, \Delta\theta_i); w.p.1 \quad (11)$$

2)  $\lim_{\Delta\theta_i \rightarrow 0} \frac{EO(r_{ik}, \Delta\theta_i)}{\Delta\theta_i} = 0,$  (12)

记

$$g(r, \theta) = \{g_{ik}(r_{ik}, \theta_i) | i \in n, k \in N\}. \quad (13)$$

可以证明如下引理:

**引理.**  $g(r, \theta)$  中的随机变量经有限次  $\oplus$  和  $\otimes$  运算所得到的随机变量仍然满足式 (11) 和 (12).

**定理.** 对于串行生产线 (1), (2), 在式 (11), (12) 的假定下, 有

$$\frac{\partial ET(N, \theta)}{\partial \theta_i} = E \frac{\partial T(N, \theta)}{\partial \theta_i}, i \in n \quad (14)$$

证明的梗概: 由于  $T(N, \theta) = \frac{1}{N} y(N, \theta)$ , 而  $y(N, \theta)$  由  $g(r, \theta)$  中的随机变量

经有限次  $\oplus$  和  $\otimes$  运算得到, 根据引理可知  $T(N, \theta)$  满足式 (11) 和 (12). 由  $C_{a.o.}$   $x_{i-rcn}$  在文献[4]中的定理 6, 可知式 (14) 成立.

上述定理表明扰动分析法<sup>[3]</sup>适用于串行生产线, 对具有有限存储的串行生产线也适用.

## 三、扰动分析的计算

设  $\theta$  中仅有一个参数  $\theta_i$  在  $\theta_i^0$  处扰动. 记

$$y = y(N, \theta) = y(N, \theta_i, g), g = g(r, \theta). \quad (15)$$

在  $\theta_i^0$  处对  $r$  (即对  $r_{ik}, i \in n, k \in N$ ) 取  $S$  个样本  $r_{ik}^j, j \in S$ , 便可得到  $y$  的  $S$  个样本  $y(N, \theta_i^0, g^j), j \in S$ , 其中  $g^j$  为对应于  $r_{ik}^j, i \in S$ , 的样本. 应用扰动分析法, 性能指标

$ET(N, \theta)$  相对于  $\theta_i$  在  $\theta_i^0$  处的灵敏度可计算如下:

$$\begin{aligned} \frac{\partial ET(N, \theta)}{\partial \theta_i} &= E \frac{\partial T(N, \theta)}{\partial \theta_i} \\ &\approx \frac{1}{N} \sum_{j=1}^s \left. \frac{\partial y(N, \theta_i, \mathbf{g}^j)}{\partial \theta_i} \right|_{\theta_i = \theta_i^0}, \end{aligned} \quad (16)$$

而  $\frac{\partial y(N, \theta_i, \mathbf{g}^j)}{\partial \theta_i}$  的计算步骤如下:

1) 求出由初始状态  $\mathbf{x}_0$  到  $y(N, \theta_i^0, \mathbf{g}^j) = x_n(N, \theta_i^0, \mathbf{g}^j)$  的关键路径  $\omega^*$

$$\omega^* = O_1 O_2 \cdots O_{n+N-1}, \quad (17)$$

其中  $O_i$  为加工事件(工件在每台机器上加工称为一个加工事件), 令  $P(O_i)$  为  $O_i$  的加工时间, 则<sup>[1]</sup>

$$y(N, \theta_i^0, \mathbf{g}^j) = P(\omega^*) = P(O_1) + P(O_2) + \cdots + P(O_{n+N-1}); \quad (18)$$

2) 设  $\omega^*$  中在  $M_i$  上加工的事件, 即与参数  $\theta_i$  有关的事件共有  $\tau$  个. 不妨设为  $O_{q+1}, O_{q+2}, \cdots, O_{q+\tau}$ , 则

$$y(N, \theta_i^0, \mathbf{g}^j) = g_{ik+1}(r_{ik+1}^i, \theta_i^0) + \cdots + g_{ik+\tau}(r_{ik+\tau}^i, \theta_i^0) + P^*(\omega^*), \quad (19)$$

其中  $g_{ik+1}(r_{ik+1}^i, \theta_i^0) = P(O_{q+1}), \cdots, g_{ik+\tau}(r_{ik+\tau}^i, \theta_i^0) = P(O_{q+\tau}),$  (20)

$$P^*(\omega^*) = P(O_1) + \cdots + P(O_q) + P(O_{q+\tau+1}) + \cdots + P(O_{n+N-1}), \quad (21)$$

显然  $P^*(\omega^*)$  与  $\theta_i$  无关. 当  $|\Delta\theta_i|$  足够小时, 不会引起关键路径的改变. 即存在  $\delta > 0$ , 当  $\theta_i \in (\theta_i^0 - \delta, \theta_i^0 + \delta)$  时有<sup>[1]</sup>

$$y(N, \theta_i, \mathbf{g}^j) = [g_{ik+1}(r_{ik+1}^i, \theta_i) + \cdots + g_{ik+\tau}(r_{ik+\tau}^i, \theta_i)] + P^*(\omega^*), \quad (22)$$

式(22)为关于  $\theta_i$  的一曲线段;

3) 由式(22)计算

$$\left. \frac{\partial y(N, \theta_i, \mathbf{g}^j)}{\partial \theta_i} \right|_{\theta_i = \theta_i^0} = \sum_{l=1}^{\tau} \left. \frac{\partial g_{ik+l}(r_{ik+l}^i, \theta_i)}{\partial \theta_i} \right|_{\theta_i = \theta_i^0}. \quad (23)$$

由上面的讨论可看出如下几点:

1) 对一个固定的采样,  $y(N, \theta_i, \mathbf{g}^j)$  关于  $\theta_i$  是一条由一些曲线段所组成的曲线,

如图 2 所示. 如果多取几个  $\theta_i^0$  值, 则可得到相应的多条曲线段. 由此曲线段所组成的曲线可作为  $y(N, \theta_i, \mathbf{g}^j)$  的近似替代曲线. 因而可近似计算出  $\partial y(N, \theta_i, \mathbf{g}^j) / \partial \theta_i$ ,  $-\infty < \theta_i < +\infty$ , 而不仅是一点  $\theta_i^0$  的值.

2) 对于  $\theta_i^0$ , 可得  $y(N, \theta_i, \mathbf{g}^j)$  一曲线段, 当  $\theta_i$  继续增大或减少, 则其关键路径  $\omega^*$  将发生变化. 根据新的关键路径, 又能求出相邻的  $y(N, \theta_i, \mathbf{g}^j)$  的另一曲线段.

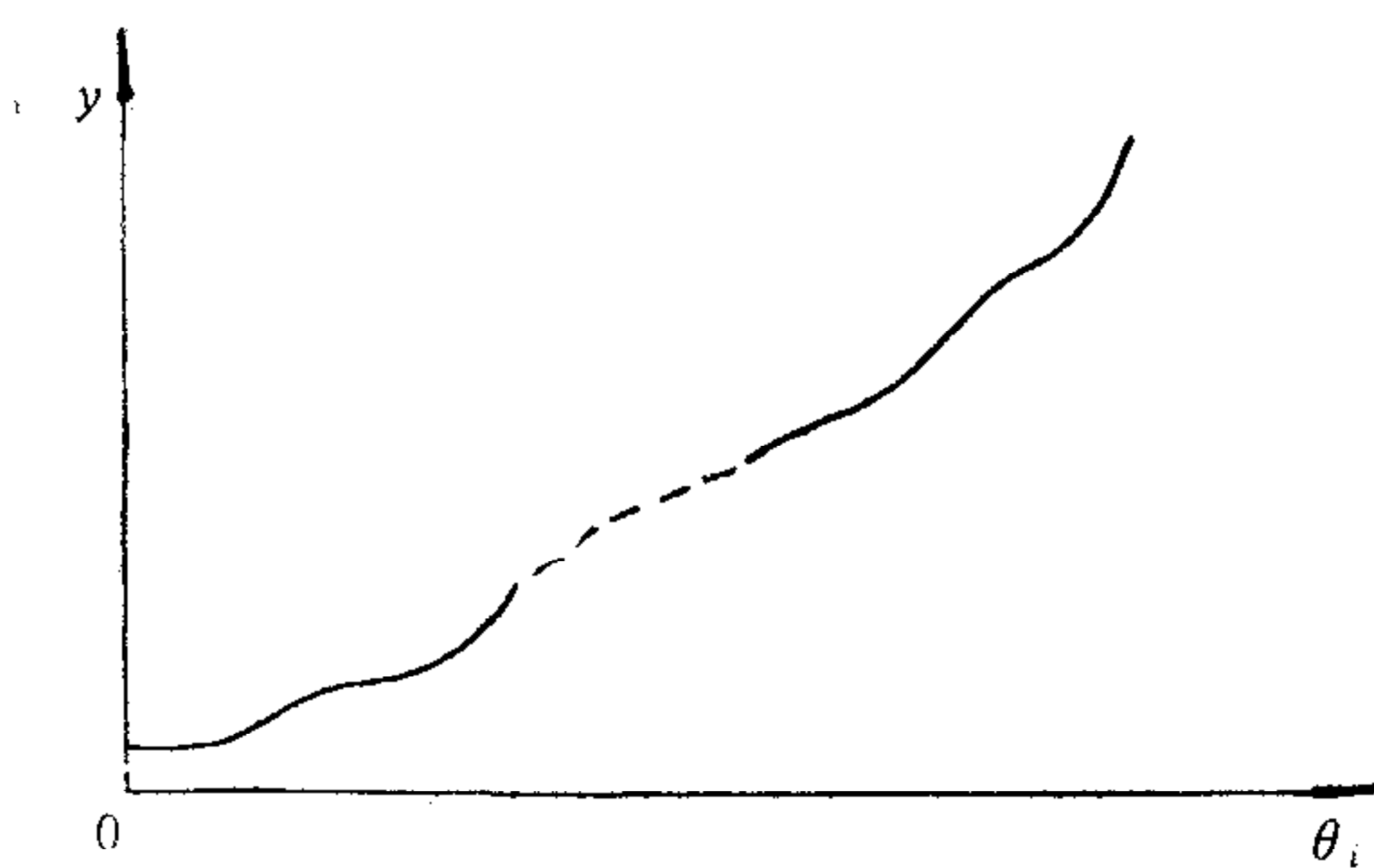


图 2.  $y(N, \theta_i, \mathbf{g}^j)$  相对于  $\theta_i$  的近似曲线

如此下去, 可得到  $y(N, \theta_i, \mathbf{g}^j)$  关于  $\theta_i$  的整条曲线.

3) 若  $p_i(k, \theta_i)$  服从负指数分布,  $\theta_i$  为参数则

$$g_{ik}(r_{ik}, \theta_i) = -\theta_i l_n(1 - r_{ik}). \quad (24)$$

并且(23)式变成

$$\frac{\partial y(N, \theta_i, \mathbf{g}^i)}{\partial \theta_i} = -[l_n(1 - r_{ik+1}) + \dots + l_n(1 - r_{ik+\tau})]. \quad (25)$$

故  $y(N, \theta_i, \mathbf{g}^i)$  在  $(\theta_i^0 - \delta, \theta_i^0 + \delta)$  内为一直线, 即  $y(N, \theta_i, \mathbf{g}^i)$ ,  $(-\infty < \theta_i < +\infty)$  是一条折线.

### 参 考 文 献

- [1] 涂奉生, 串行生产线的数学模型及其性能估算, 自动化学报, 16(1990), (6).
- [2] 涂奉生, 乞敬换, 具有存贮器的生产线的状态方程描述及其性能分析, 系统科学与数学, 11(1991), (2), 177—186.
- [3] Y. C. HO. and Cassandras, C., A New Approach to the Analysis of Discrete Event Dynamic Systems, *Automatic*, 19(1983), (2).
- [4] Cao, Xi-ren., Convergence of Parameter Sensitivity Estimates [in a Stochastic Experiment] *IEEE Trans. Automat. Contr.*, **AC-24** (1985), (9).

## STOCHASTIC LINEAR SYSTEMS OVER MAX-ALGEBRA AND A PERTURBATION ANALYSIS OF DEDS

TU FENGSHENG SUN YONGHUA

(Dept. of Computer and System Sciences Nankai University, Tianjin 300071)

### ABSTRACT

In this paper, the stochastic linear state equation over Max-algebra for a serial production line is given. It is proven that a perturbation analysis is suitable for this kind of DEDS and a simple algorithm of the perturbation analysis is proposed.

**Key words:** Discrete event dynamic system; perturbation analysis; serial production line; max-algebra.